

# Preliminarne jednačine zavisnosti inklinacije i argumenta pericentra i vremena kretanja asteroida preko rezonanci u srednjem kretanju

Ivana Milić Žitnik

[ivana@aob.rs](mailto:ivana@aob.rs)

17-18.11.2017.

Beograd, Srbija



## Uvod

Motivacija

Orbita asteroida

## Metode

Izbor rezonanci u srednjem kretanju

Karakteristike rezonanci u srednjem kretanju

Vremenski trenuci ulaza i izlaza iz naših rezonanci

## Rezultati

Funkcionalna veza između  $SR$ ,  $dtr$ ,  $da/dt$

Funkcionalna veza između  $e$ ,  $SR$ ,  $dtr$ ,  $da/dt$

Funkcionalna veza između  $i$ ,  $SR$ ,  $dtr$ ,  $da/dt$

Funkcionalna veza između  $\omega$ ,  $SR$ ,  $dtr$ ,  $da/dt$

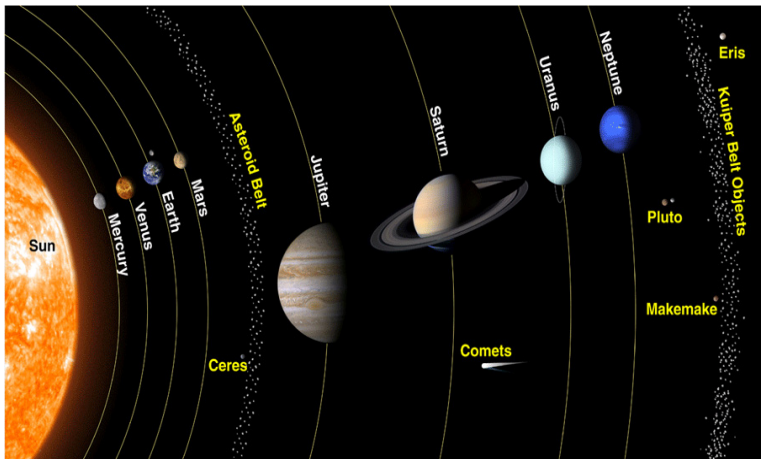
## Zaključak



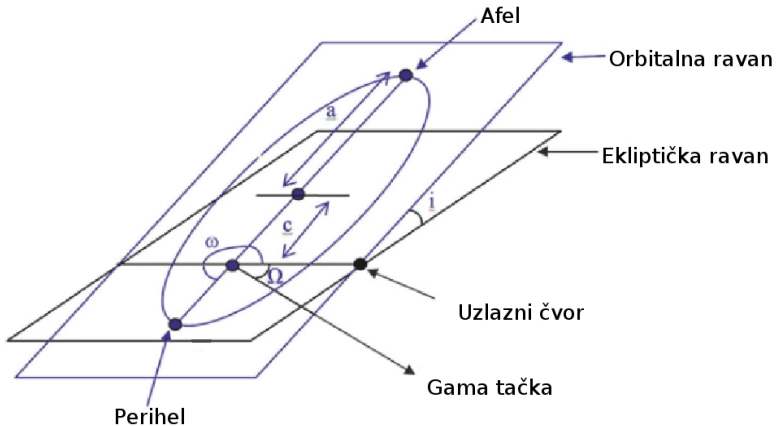
- ▶ Gravitacione i negravitacione sile
- ▶ Rezonance u srednjem kretanju
- ▶ Efekat Jarkovskog
- ▶ Promena velike poluose asteroida u rezonancama u srednjem kretanju pod uticajem efekta Jarkovskog

# Asteroidi

- ▶ Mala tela
- ▶ Ključ za razumevanje formiranja Sunčevog sistema



# Orbita asteroida



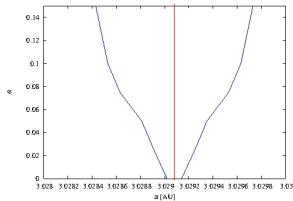
# Efekat Jarkovskog



- ▶ Ivan Osipovich Yarkovsky (1844-1902), Ruski inženjer
- ▶  $(3-5) \times 10^{-4}$  AJ/M god za asteroide prečnika  $R = 1$  km u Glavnom asteroidnom pojusu (Vokrouhlický *et al.* 2015)
- ▶  $da/dt \approx \frac{1}{R}$ ,  $0.1 < R < 30$  km ( $R$  je prečnik)

# Metode

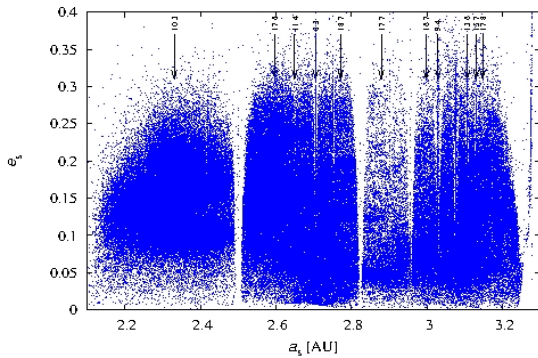
- ▶ Numeričke integracije *ORBIT9* (Milani & Nobili 1988)
- ▶ 66 000 test asteroida
- ▶ 10 ekvidistantnih brzina Jarkovskog  
 $\{-4 \times 10^{-5}, \dots, -2 \times 10^{-3}\}$  AJ/Mgod
- ▶ Orbitalno kretanje 40-120 Mgod
- ▶ Definisanje granica rezonanci u srednjem kretanju  
Numerička metoda (Milić Žitnik & Novaković 2015, 2016)



# Metode

## Izbor rezonanci u srednjem kretanju

- ▶ 11 izolovanih rezonanci sa Jupiterom  
(Milić Žitnik & Novaković 2016)



# Metode

## Karakteristike rezonanci u srednjem kretanju



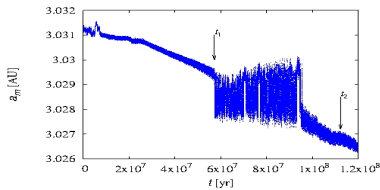
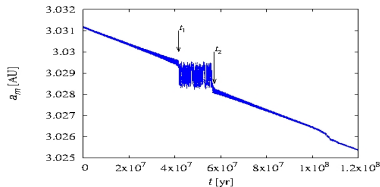
$k:k_i$	$q$	$a_{rez}$ [AJ]	$SR$
7:3	4	2.95652	0.00003509070792
9:4	5	3.02908	0.00000676555192
8:3	5	2.70470	0.00000219867213
13:6	7	3.10626	0.00000027294620
15:7	8	3.12923	0.00000005640444
11:4	7	2.64978	0.00000002891613
17:8	9	3.14673	0.00000001181632
10:3	7	2.33084	0.00000000617311
16:7	9	2.99744	0.00000000448720
17:7	10	2.87871	0.00000000033103
18:7	11	2.77108	0.000000000002283
17:6	11	2.59757	0.000000000000599

- ▶ Jačine rezonanci u srednjem kretanju (Gallardo 2006)

# Metode

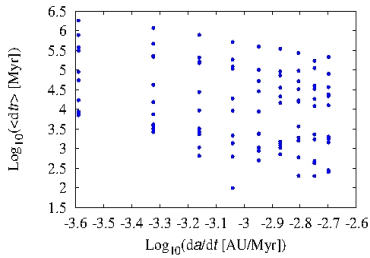
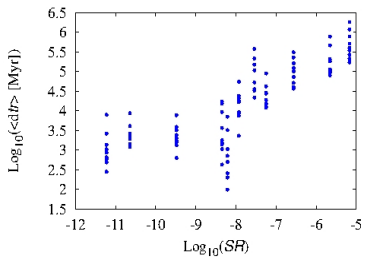
Vremenski trenuci ulaza i izlaza iz naših rezonanci

- ▶ Momenat ulaska ( $t_1$ ) i izlaska ( $t_2$ ) iz rezonance
- ▶ Vreme provedeno u rezonanci:  $dtr = (t_2 - t_1) - \Delta a / (da/dt)$   
 $\Delta a = a_2 - a_1$  za trenutke  $t_2, t_1$ ;  $da/dt$  - brzina Jarkovskog



# Rezultati

Funkcionalna veza između  $SR$ ,  $dtr$ ,  $da/dt$



# Rezultati



Milić Žitnik & Novaković 2016:

$$\langle dtr \rangle = c_1 (SR)^\beta \left( \frac{da}{dt} \right)^\gamma$$

$$\log_{10}(\langle dtr \rangle) = \beta \log_{10}(SR) + \gamma \log_{10}\left(\frac{da}{dt}\right) + c_2$$

za  $e \approx 0.1$ ,  $i = 5^\circ$ ,  $\omega = 60^\circ$ :

$$\beta = 0.44 \pm 0.03, \quad \gamma = -1.09 \pm 0.20, \quad c_2 = 4.35 \pm 0.66 \quad 11 \text{ rezonanci}$$

$$\beta = 0.47 \pm 0.04, \quad \gamma = -0.97 \pm 0.15, \quad c_2 = 5.11 \pm 0.54 \quad 6 \text{ rezonanci}$$

$$\langle dtr \rangle = 10^{-1} \sqrt{SR} \left( \frac{da}{dt} \right)^{-1}$$

$SR$  zavisi od  $e$ ,  $i$ ,  $\omega$  (Malhotra 1994, Gallardo 2006)

# Rezultati

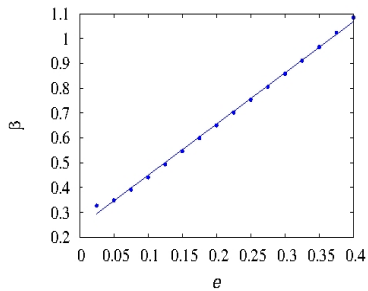
Funkcionalna veza između  $e$ ,  $SR$ ,  $dtr$ ,  $da/dt$

$e$	$\beta \pm \sigma_\beta$	$\gamma \pm \sigma_\gamma$	$c_2 \pm \sigma_{c_2}$
0.025	$0.327 \pm 0.024$	$-1.092 \pm 0.207$	$4.460 \pm 0.680$
0.050	$0.348 \pm 0.025$	$-1.092 \pm 0.207$	$4.325 \pm 0.675$
0.075	$0.392 \pm 0.028$	$-1.092 \pm 0.204$	$4.332 \pm 0.665$
0.100	$0.441 \pm 0.030$	$-1.092 \pm 0.201$	$4.347 \pm 0.656$
0.125	$0.494 \pm 0.034$	$-1.092 \pm 0.199$	$4.374 \pm 0.649$
0.150	$0.546 \pm 0.037$	$-1.092 \pm 0.197$	$4.399 \pm 0.645$
0.175	$0.598 \pm 0.040$	$-1.092 \pm 0.196$	$4.418 \pm 0.642$
0.200	$0.650 \pm 0.043$	$-1.092 \pm 0.196$	$4.432 \pm 0.641$
0.225	$0.702 \pm 0.047$	$-1.092 \pm 0.196$	$4.440 \pm 0.641$
0.250	$0.754 \pm 0.050$	$-1.092 \pm 0.196$	$4.445 \pm 0.643$
0.275	$0.805 \pm 0.054$	$-1.092 \pm 0.197$	$4.447 \pm 0.646$
0.300	$0.858 \pm 0.058$	$-1.092 \pm 0.198$	$4.450 \pm 0.649$
0.325	$0.911 \pm 0.062$	$-1.092 \pm 0.200$	$4.455 \pm 0.654$
0.350	$0.966 \pm 0.067$	$-1.092 \pm 0.201$	$4.464 \pm 0.659$
0.375	$1.023 \pm 0.071$	$-1.092 \pm 0.202$	$4.482 \pm 0.663$
0.400	$1.084 \pm 0.076$	$-1.092 \pm 0.203$	$4.511 \pm 0.667$

# Rezultati

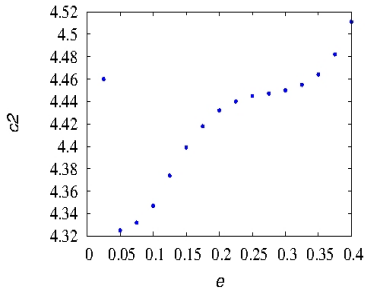
Funkcionalna zavisnost između  $e$  i  $\beta$  za  $0.025 \leq e \leq 0.4$ ,  $i = 5^\circ$ ,  $\omega = 60^\circ$ .

$\beta = ae + b$ ,  $a = 2.06 \pm 0.02$ ,  $b = 0.24 \pm 0.01$  za 11 rezonanci



# Rezultati

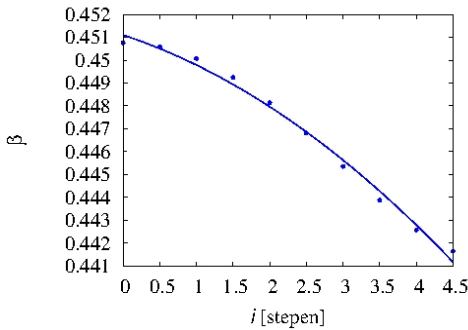
Funkcionalna zavisnost između  $e$  i  $c_2$  ima oscilacije oko linearog trenda za  $0.025 \leq e \leq 0.4$ ,  $i = 5^\circ$ ,  $\omega = 60^\circ$ .



# Rezultati

Funkcionalna veza između  $i$ ,  $SR$ ,  $dtr$ ,  $da/dt$

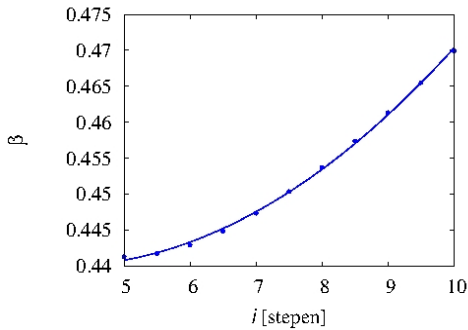
- ▶ Funkcija između  $i$  i  $\beta$  za  $0^\circ \leq i < 5^\circ$ ,  $e = 0.1$ ,  $\omega = 60^\circ$ .
- ▶  $\beta = ai^2 + bi + c$ ,  $a = -0.00025 \pm 0.00006$ ,  
 $b = -0.00106 \pm 0.00028$ ,  $c = 0.45110 \pm 0.00027$   
za 11 rezonanci



# Rezultati

Funkcionalna veza između  $i$ ,  $SR$ ,  $dtr$ ,  $da/dt$

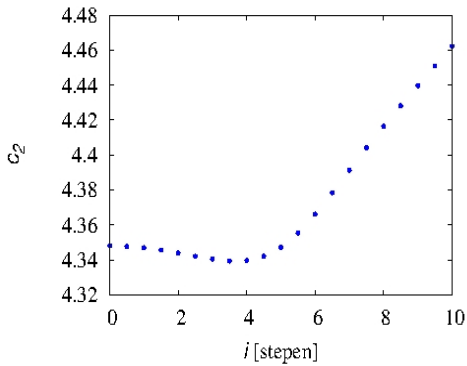
- ▶ Funkcija između  $i$  i  $\beta$  za  $5^\circ \leq i \leq 10^\circ$ ,  $e = 0.1$ ,  $\omega = 60^\circ$ .
- ▶  $\beta = ai^2 + bi + c$ ,  $a = 0.00085 \pm 0.00005$ ,  
 $b = -0.00678 \pm 0.00074$ ,  $c = 0.45356 \pm 0.00270$   
za 11 rezonanci



# Rezultati

Funkcionalna veza između  $i$ ,  $SR$ ,  $dtr$ ,  $da/dt$

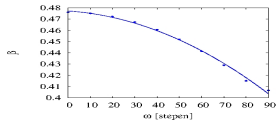
- ▶ Funkcionalna veza između  $i$  i  $c_2$  za  $0^\circ \leq i \leq 10^\circ$ ,  $e = 0.1$ ,  $\omega = 60^\circ$ .



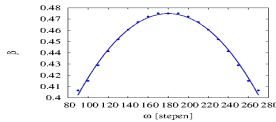
# Rezultati

Funkcionalna veza između  $\omega$ , SR,  $dtr$ ,  $da/dt$

$\beta = a\omega^2 + b\omega + c$ ,  $a = -0.0000076 \pm 0.0000008$ ,  
 $b = -0.00013 \pm 0.00007$ ,  $c = 0.47713 \pm 0.00142$  za  $0^\circ \leq \omega \leq 90^\circ$ ,  
 $e = 0.1$ ,  $i = 5^\circ$ .



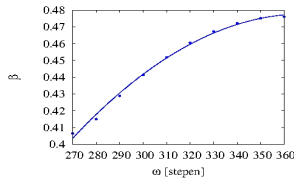
$\beta = a\omega^2 + b\omega + c$ ,  $a = -0.0000089 \pm 0.0000002$ ,  
 $b = 0.00321 \pm 0.00006$ ,  $c = 0.18562 \pm 0.00533$  za  $90^\circ \leq \omega \leq 270^\circ$ ,  
 $e = 0.1$ ,  $i = 5^\circ$ .



# Rezultati

Funkcionalna veza između  $\omega$ , SR,  $dtr$ ,  $da/dt$

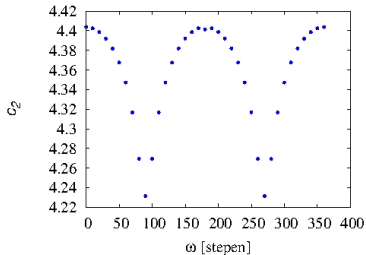
$$\begin{aligned}\beta &= a\omega^2 + b\omega + c, \quad a = -0.0000076 \pm 0.0000008, \\ b &= 0.00560 \pm 0.00050, \quad c = -0.55539 \pm 0.07772 \\ \text{za } 270^\circ &\leq \omega \leq 360^\circ, \quad e = 0.1, \quad i = 5^\circ.\end{aligned}$$



# Rezultati

Funkcionalna veza između  $\omega$ , SR,  $dtr$ ,  $da/dt$

- ▶ Funkcionalna veza između  $\omega$  i  $c_2$  za  $0^\circ \leq \omega \leq 360^\circ$ ,  $e = 0.1$ ,  $i = 5^\circ$ .



- ▶  $F(\langle dtr \rangle, e, SR, da/dt)$  za  $0.025 \leq e \leq 0.4, i = 5^\circ, \omega = 60^\circ$ :

$$\log_{10}(\langle dtr \rangle) = (2.06e + 0.24) \log_{10}(SR) - 1.09 \log_{10}\left(\frac{da}{dt}\right) + c_2$$

- ▶  $F(\langle dtr \rangle, i, SR, da/dt)$

za  $0^\circ \leq i < 5^\circ, e = 0.1, \omega = 60^\circ$ :

$$\log_{10}(\langle dtr \rangle) = (ai^2 + bi + c) \log_{10}(SR) - 1.09 \log_{10}\left(\frac{da}{dt}\right) + c_2$$

za  $5^\circ \leq i \leq 10^\circ, e = 0.1, \omega = 60^\circ$ :

$$\log_{10}(\langle dtr \rangle) = (ai^2 + bi + c) \log_{10}(SR) - 1.09 \log_{10}\left(\frac{da}{dt}\right) + c_2$$



- ▶  $F(\langle dtr \rangle, \omega, SR, da/dt)$

za  $0^\circ \leq \omega \leq 90^\circ$ ,  $i = 5^\circ$ ,  $e = 0.1$ :

$$\log_{10}(\langle dtr \rangle) = (a\omega^2 + b\omega + c) \log_{10}(SR) - 1.09 \log_{10}\left(\frac{da}{dt}\right) + c_2$$

za  $90^\circ \leq \omega \leq 270^\circ$ ,  $i = 5^\circ$ ,  $e = 0.1$ :

$$\log_{10}(\langle dtr \rangle) = (a\omega^2 + b\omega + c) \log_{10}(SR) - 1.09 \log_{10}\left(\frac{da}{dt}\right) + c_2$$

za  $270^\circ \leq \omega \leq 360^\circ$ ,  $i = 5^\circ$ ,  $e = 0.1$ :

$$\log_{10}(\langle dtr \rangle) = (a\omega^2 + b\omega + c) \log_{10}(SR) - 1.09 \log_{10}\left(\frac{da}{dt}\right) + c_2$$

The background features a large, stylized, light blue swoosh that curves from the top left towards the bottom right. Along the path of this swoosh are numerous small, glowing white particles and several larger, fainter blue curved lines. The overall effect is dynamic and celebratory.

*HVALA VAM NA PAŽNJI!*